

Отчет по лабораторной работе №211
Продольные звуковые волны в проволоке

Выполнили студенты 420 группы
Понур К.А., Сарафанов Ф.Г., Сидоров Д.А.

Нижний Новгород, 2018

Содержание

1	Введение	2
2	Продольные упругие волны	2
3	Метод возбуждения и приема упругих волн	4
4	Описание установки	4
5	Практическая часть	5
5.1	Импульсный режим	5
5.2	Непрерывный режим	6
5.3	Погрешности	7

1. Введение

В работе изучается распространение продольных упругих волн в никелевой проволоке (диаметр проволоки мал по сравнению с длиной волны). Чтобы получить в никелевой проволоке длину волны порядка 1 см, необходимо для возбуждения применять генератор с частотой порядка 500 кГц. Колебания такой частоты называют ультразвуковыми в отличие от колебаний звуковых частот, воспринимаемых ухом человека (верхней границей слухового восприятия считаются колебания с частотами около 20 кГц). Цель данной работы состоит в измерении длины возбуждаемой волны и скорости ее распространения.

2. Продольные упругие волны

В пренебрежении поглощением распространение продольных упругих волн в проволоке описывается волновым уравнением

$$\frac{\partial^2 s}{\partial t^2} = \frac{E}{\rho} \frac{\partial^2 s}{\partial x^2}, \quad (1)$$

где $s(x,t)$ - смещение в момент t сечения, равновесная координата которого равна x (x и s отсчитываются вдоль оси, параллельной проволоке). E и ρ - соответственно модуль Юнга и плотность материала проволоки. Уравнение (1) справедливо при малых деформациях, лежащих в пределах применимости закона Гука. Общее решение этого уравнения представляет собой суперпозицию двух бегущих навстречу недеформирующихся волн:

$$s = s_1(x + ut) + s_2(x - ut),$$

где $u = \sqrt{E/\rho}$ - скорость распространения волны, s_1, s_2 - произвольные функции. Вид функций s_1 и s_2 зависит от способа возбуждения волн и от граничных условий. Важен случай, когда s_1 и s_2 - плоские синусоидальные волны с циклической частотой ω и волновым числом k :

$$\begin{aligned} s_1 &= A_1 \cos(\omega t + kx - \alpha_1), \\ s_2 &= A_2 \cos(\omega t - kx - \alpha_2) \end{aligned}$$

Связь между ω и k (дисперсионное уравнение) получим, подставляя любую из функций s_1, s_2 , в уравнение (1). В рассматриваемом случае связь частоты волны с волновым числом линейная (скорость распространения волны не зависит от частоты ω), без свободного члена. Такие среды называются средами без дисперсии.

В нашей установке волны могут генерироваться в двух режимах: непрерывном и импульсном. В первом режиме непрерывно возбуждаются синусоидальные волны. Во втором режиме возбуждение синусоидальных волн периодически прерывается (генерируются обрывки синусоид - радиоимпульсы).

Рассмотрим суперпозицию двух плоских синусоидальных волн одинаковой амплитуды ($A_1 = A_2 = A$), распространяющихся во встречных направлениях:

$$s = s_1 + s_2$$

Путем тригонометрических преобразований сумма двух гармоник может быть представлена в виде

$$s = 2A \cos \left(kx - \frac{\alpha_1 + \alpha_2}{2} \right) \cos \left(\omega t + \frac{\alpha_1 - \alpha_2}{2} \right), \quad (2)$$

который описывает синусоидальную стоячую волну. Величина s во всех точках струны совершает гармоническое колебание с одинаковой частотой, но амплитуда колебаний

$$2A \left| \cos \left(kx - \frac{\alpha_1 + \alpha_2}{2} \right) \right|$$

различна в разных точках. Точки, где амплитуда равна нулю, и, следовательно, $s = 0$ в любой момент времени, называются узлами стоячей волны. Точки, где амплитуда колебаний максимальна, называются пучностями стоячей волны. Амплитуда стоячей волны в пучности вдвое больше амплитуды каждой из бегущих волн. Расстояние между соседними пучностями, как и расстояние между соседними узлами, равно $\lambda/2$. Пучности и узлы сдвинуты друг относительно друга на четверть длины волны. Заметим, что множитель $\cos(kx)$ при переходе через нулевое значение меняет знак, что соответствует изменению фазы колебаний на π . В соответствии с этим фаза колебаний по разные стороны от узла отличается на π . Точки, заключенные между двумя соседними узлами, колеблются синфазно. Рассмотренный выше случай образования стоячей волны из двух бегущих навстречу волн является идеализированным. На практике получить чисто бегущую или чисто стоячую волну не удастся. Причины этого состоят в следующем. Во-первых, вязкость (внутреннее трение) и теплообмен приводят к тому, что волна затухает при распространении, то есть энергия упругой волны переходит в тепловую. Во-вторых, отражение на границах проволоки в местах ее закрепления не полное. В результате мы имеем суперпозицию волн (излученной и отраженных) с разными амплитудами, и наблюдается режим смешанных волн. Рассмотрим поэтому более общий случай суперпозиции двух бегущих плоских волн

одинаковой частоты с различными амплитудами, которые представим в виде:

$$A_2, A_1 = A + a$$

Легко видеть, что $s = s_1 + s_2$ есть суперпозиция стоячей волны, описываемой уравнением (2), и бегущей волны

$$a \cos(kx - \omega t - \alpha_1)$$

Величина $(a/A)^2$ называется коэффициентом бегучести. Отношение

$$\frac{A_1^2 + A_2^2}{A_1^2 - A_2^2}$$

называется коэффициентом стоячности волны (КСВ). Очевидно, что в стоячей волне КСВ равен бесконечности, а в чисто бегущей – единице.

3. Метод возбуждения и приема упругих волн

Известно, что под действием магнитного поля происходит деформация некоторых веществ (в частности, никеля). Это явление, открытое в середине прошлого века Джоулем, получило название магнитострикции. Относительная деформация $\varepsilon = \Delta L/L$ в полях, намагничивающих до насыщения ($H \approx 10^5 \text{ A/m}$), обычно исчисляется порядком $10^{-5} - 10^{-6}$. Величина и знак деформации не зависят от направления магнитного поля, то есть функция $\varepsilon(H)$ – четная. Механизм магнитострикционного эффекта нас в данной работе интересовать не будет; этот эффект используется лишь как способ получения ультразвуковых волн в проволоке.

Для возбуждения упругих волн необходимо периодически измерять величину магнитного поля (в нашей установке магнитное поле меняется по гармоническому закону). Для достижения оптимальных условий возбуждения необходимо постоянное подмагничивание. В этом случае колебания $\varepsilon(t)$ будут иметь максимальную возможную амплитуду, а их частота будет совпадать с частотой $H(t)$. Такая зависимость $\varepsilon(H)$ характерна для никеля.

4. Описание установки

Установка состоит из передатчика, натянутой никелевой проволоки, передающей и приемной катушек, которые могут перемещаться вдоль проволоки, приемника и осциллографа. Передатчик и приемник собраны в одном корпусе.

Передачик включает в себя: генератор высокой частоты, генерирующий непрерывное синусоидальное напряжение с частотой около 500 кГц; импульсный генератор, выдающий прямоугольные видеоимпульсы с периодом T значительно большим времени длительности импульса τ ; при этом скважность T/t оказывается достаточно большой; модулятор, являющийся своего рода "ключом": он пропускает синусоидальное напряжение только в те моменты времени, когда одновременно с этим напряжением к нему приложено напряжение, снимаемое с выхода импульсного генератора. Таким образом, на выходе модулятора формируются радиоимпульсы, т.е. импульсы длительностью τ с синусоидальным заполнением, частота которого определяется частотой генератора высокой частоты; усилитель, усиливающий подводимое напряжение до величины, необходимой для нормальной работы передающей катушки. С помощью переключателя "НЕПР-ИМП" напряжение ГВЧ подается или непосредственно на выходной усилитель (в этом случае установка будет работать в непрерывном режиме), или на модулятор (что обеспечивает импульсный режим работы). Выходное напряжение снимается с разъема "Выход" (для удобства работы этот разъем запараллелен); к разъему "Видеоимпульс" подводится сигнал от импульсного генератора.

Для создания постоянного подмагничивания в месте расположения приемной и передающей катушек установлены постоянные магниты. Катушки секционированы, т.е. намотаны несколькими секциями; длина каждой секции порядка 2 мм. В месте расположения отдельных секций передающей катушки при подачи на неё переменного напряжения возникают упругие колебания. В приемной катушке переменное магнитное поле, возникающее из-за обратного магнитострикционного эффекта, создает ЭДС индукции. Напряжение, снимаемое с этой катушки, поступает далее на разъем "Вход" приемника. Приемник представляет собой усилитель с полосой пропускания, достаточной для неискаженного усиления принимаемых сигналов. С выхода приемника усиленный сигнал поступает на вход вертикального усилителя осциллографа.

5. Практическая часть

5.1. Импульсный режим

Было определено, что По осциллограммам была измерена длительность импульса $\tau = 2 \cdot 10^{-6}$ с, установлено, что $\tau_{radio} = \tau_{video}$ и определена величина $\frac{T}{\tau}$ — скважность По осциллограмме было определено, какой импульс пришел после отражения от одной стороны, другой стороны, и двух отражений.

Для определения скорости распространения волны были замерены несколько путей, по которым происходило распространение. Значение скорости распространения волны,

измеренное данным способом:

$$V = 5.1 \text{ км/с}$$

При перемещении приемной катушки были зафиксированы сдвиги соответствующих импульсов относительно начального положения. Зная значения этих сдвигов по времени и расстоянию, можно так же оценить скорость распространения волны. Значение скорости распространения волны, измеренное данным способом:

$$V = 5 \text{ км/с}$$

$$\frac{T}{\tau} = 77$$

5.2. Непрерывный режим

При включении непрерывного режима на экране осциллографа наблюдалась полоса сигнала, меняющая свою ширину при перемещении принимающей катушки вдоль проволоки. Амплитуда колебалась от максимальных значений – «пучности», до минимальных (ненулевых) – «узлов». Для измерения длины волны было измерено, на каком расстоянии находятся соседние пучности, а для точности, было взято 10 пучностей (и узлов). Также был определен коэффициент стоячности волны (КСВ), т.е. отношение амплитуды в максимуме к амплитуде в минимуме. Была построена зависимость КСВ от координаты приемника x .

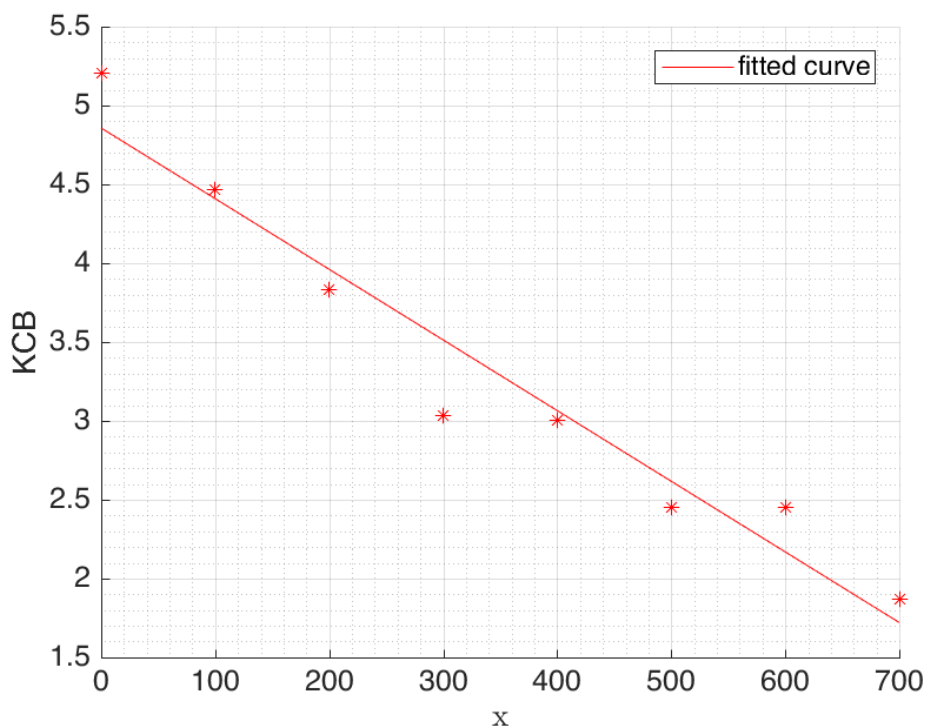


Рис. 1

Также была зафиксирована фаза принимаемого сигнала в зависимости от положения катушки. На второй вход осциллографа был подан сигнал непосредственно с генератора, в следствии чего на экране наблюдалась фигура Лиссажу (эллипс). Перемещая приемник, и фиксируя количество одинаковых положений также была посчитана длина волны:

$$\lambda = 10.6\text{мм} \quad (3)$$

5.3. Погрешности

$\Delta x = 0.1$ см – для измерений расстояния

$\Delta A = 0.08$ В – для измерений амплитуд